ベトナム北部紅河流域における土質材料の粒度組成に着目した 浸透破壊抵抗性と自然由来の繊維材の補強効果に関する実験的評価

学生会員 〇佐藤恭兵 茨城大学 正会員 小峯秀雄 正会員 村上哲 フェロー会員 安原一哉 茨城大学 前田工繊(株) 正会員 菅野将人

1. はじめに

近年,地球温暖化に伴う気候変動の影響により,集中豪雨の発生回数が増加傾向にある 1).そのため,集中豪雨 による雨水と河川水の複合浸透による破堤被害が問題となっている. ベトナム北部紅河流域では、堤防の各所でボ イリングやパイピングによる浸透破壊が発生しており、破堤被害が頻発している²⁾. そのため、浸透破壊に対して 脆弱な地域を特定し、補強対策を行う必要がある.参考文献 3)によると、浸透破壊抵抗性と粒度組成が関係してい ることが明らかとされている。そこで、本研究では、紅河流域における土質材料の粒度組成に着目し、浸透破壊抵 抗性を調査する.また、紅河流域では、稲作が盛んであり、藁などの自然由来の繊維材が低コストで入手可能なこ とから、ベトナムの経済力を考慮し、自然由来の繊維材を用いた補強対策が有効であると考えられる、そのため、 自然由来の繊維材を用いた短繊維混合土の浸透破壊抵抗性を調査し、補強効果を確認することを目的とする.なお、 本論文では、河川流域を河岸から堤内地までと定義する. 水位上昇

2. 浸透破壊試験の概要

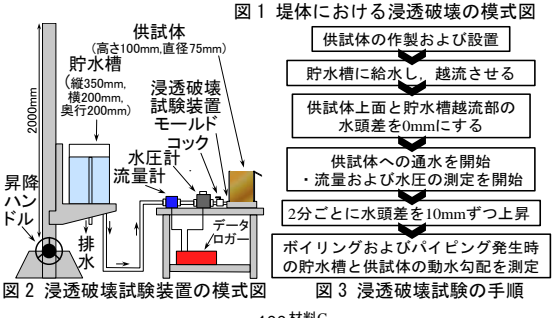
図1に本研究で着目している浸透破壊の模式図を示す. 浸透破壊とは, 浸透力の作 用により、パイピングまたはボイリングが発生する破壊現象であり、浸透破壊試験は、

この破壊現象を模擬したものである. 図2に本研究で用いる浸透破 壊試験装置の模式図を示し、図3に浸透破壊試験の手順を示す. 本 試験装置は,供試体へ水道水を供給する貯水槽,供試体へ通水する 浸透破壊試験装置モールドから構成される. 本試験は, 貯水槽を段 階的に上昇させ, 貯水槽と供試体上部との動水勾配を段階的に増加 させ、浸透破壊の発生に伴い急激に流量が増加する時の動水勾配を 測定する試験である. 供試体下部への流量と水圧を測定するため,

流量計(最大容量:0.850L/min, 最小目盛:0.001L/min)と水圧計(最大容量:100kPa, 最 小目盛:1kPa)を設置した.

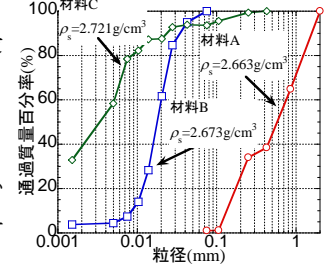
3. 使用した土質材料、繊維材および供試体の作製条件

河川流域を構成する土質は地域によって異なるため、地域毎に土質材料を採取する必 📲 20 要がある.しかし,ベトナム北部における紅河の流域面積は広大であり,全ての土質材 料を採取することは困難である。そのため、本研究では、紅河流域の基本的な土質材料 図4 各±質材料の粒径加積曲線



水みちの形成

パイピング・ボイリング発生



浸透力の増加 ▼ 水みちの形成

ボイリングの発生

に関する情報を入手し、粒度組成を模擬した材料(以下、模擬材料と記述する)を作製する. 本研究では、模擬材料 の作製のため、砂、シルト、粘土の各土質材料を選定した. 図4に各土質材料の粒径加積曲線を示す.砂、シルト、 粘土の各土質材料として、それぞれ材料 A(三河珪砂 V3 号、V5 号、V7 号を質量比 1:1:1 で混合)、材料 B(昭和 DL クレー), 材料 C(特性クレーサンド)を選定した. また, 自然由来の繊維材としてヤシ繊維(前田工繊(株)製)を選定し た. 供試体の作製方法は、実施工の締固めを模擬し、動的締固め方法により行った. 供試体の締固めには、直径 19.95mm, 質量 502.39g の円柱形突棒を用い, 5 層に分けて作製した. 供試体の初期含水比 wo は, 最大乾燥密度 pdmax 時の最適含水比 w_{opt} を目標に作製した.供試体は,直径75mm,高さ100mmを目標に作製した.

キーワード 堤防, 浸透破壞, 粒度組成, 繊維材, 補強土

連絡先 〒316-8511 茨城県日立市中成沢町 4-12-1 茨城大学工学部都市システム工学科 TEL0294-38-5163

4. 調査対象地域の選定および模擬材料の作製

参考文献 4)より紅河流域における土質材料の粒度組成を調査し、調査対象地域を紅河 下流域より地域 a~d, 紅河河口域より地域 e~g の計 7 種選定した. 図 5 に選定した地 域を示す. それぞれの地域における土質材料の粒度組成を模擬したものを模擬材料 a~ gとし,表1に粒度組成,土粒子の密度 ρ_s ,最大乾燥密度 ρ_{dmax} ,最適含水比 w_{ont} を示す。

d タイビン省 b 紅河 紅河下流域 紅河河口域

図 5 調査対象地域

および最適会水比り

5. 浸透破壊試験結果および短繊維混合による補強効果の考察

本研究では、各供試体の浸透破壊の発生に伴い急激に 流量が増加した際の動水勾配(以下,破壊時の動水勾配 in と記述する)を比較し、浸透破壊抵抗性を評価した. 河川 土工マニュアル $^{5)}$ の締固め品質下限値が締固め度 $D_{c}=80\%$ であることから、D。=80%時の各模擬材料の浸透破壊抵抗

χ 「台灣派的和の和支配及。」、上位于の台灣及 $ ho_{ m in}$ 、 χ								
模擬		土質	粒度組成(%)			$\rho_{\rm s}$	ρ_{dmax}	Wont
材料			砂	シルト	粘土	(g/cm ³)	(g/cm ³)	(%)
下流域	a	砂	96	4	0	2.663	1.712	11.5
	b	シルト質砂	75	22	3	2.666	1.862	8.7
		粘土まじりシルト質砂	71	21	8	2.669	1.881	10.5
	d	粘土まじりシルト質砂	68	26	6	2.668	1.884	10.9
河	е	粘土まじりシルト質砂	52	38	10	2.671	1.770	12.3
	f	粘土まじり砂質シルト	38	48	14	2.674	1.743	12.0
域	g	砂まじり粘土質シルト	14	64	22	2.685	1.597	19.3

各模擬材料の新度組成⁶⁾ 十粒子の変度。 最大的慢変度。

性を調査した. また, 各模擬材料の短繊維混合による浸透破壊抵抗性の補強効果を評 価するため、無混合およびヤシ繊維を質量比1%で混合した供試体を作製し、浸透破壊 試験を実施した. 図 6 は、浸透破壊試験により得られる流量と動水勾配の関係を例示 したものである. 本図 a)は、下流域の地域 $d(\mathbf{Z} \ 5$ 参照)の模擬材料に対し、ヤシ繊維混 $\frac{m}{4}$ 0.2 合による補強効果を示し、本図 b)は、河口域の地域 g(図 5 参照)の模擬材料に対するヤ シ繊維混合による補強効果を示している.下流域の地域 a~d では破壊時の動水勾配 in が 9~33%増加しており、補強効果が認められると判断できる。一方、河口域の地域 e \sim f では破壊時の動水勾配 $i_{\rm f}$ が $0\sim35\%減少しており、補強効果は確認できなかった.$ 図7は、本研究で実施した試験結果を三角座標上に示したものである. 三角座標は、 地盤工学会基準「地盤材料の工学的分類」(JGS0051-2009)⁶の三角座標を砂、シルト、 粘土の各割合を表示できるよう援用したものである. 図7より、砂分含有率が高いほ 202 ど破壊時の動水勾配 inが向上し、今回用いた土質材料では、砂分含有率が 68%以上で 補強効果が発揮される傾向を示した. 図8にヤシ繊維混合土の模式図を示す. ヤシ繊 維が土粒子間に入り込むことで砂分含有率が高い供試体では接触面が増加し、摩擦力 が増加すると推察される. 一方、細粒分含有率が高い供試体では、ヤシ繊維が土粒子 間に入り込むことで透水性の向上および粘着力が減少すると推察される. 今後, ヤシ 繊維混合による透水係数、内部摩擦角、粘着力への影響を調査する必要がある。

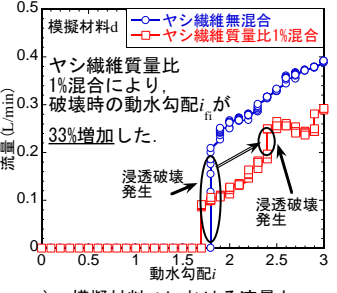


本研究では、紅河流域における土質材料の粒度組成を模擬した材料を使用し、無混 合およびヤシ繊維を混合した供試体を用いた浸透破壊試験を実施した. 得られた知見 を以下に示す.

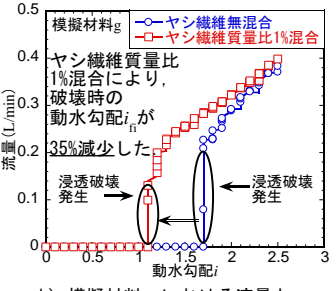
①土質材料にヤシ繊維を混合することで透水性の向上が推察される. また, 砂分含有 率が高い場合,摩擦力の増加,細粒分含有率が高い場合,粘着力の減少が推察される.

②ヤシ繊維質量比 1%混合による破壊時の動水勾配 in の変化と粒度組成の関係より, 今回用 いた土質材料では、砂分含有率が 68%以上に対して、ヤシ繊維を質量比 1%混合することで 破壊時の動水勾配 inの 9%以上の向上が期待できる.

謝辞:本研究は、環境省地球環境推進研究「S-8-3 アジア太平洋地域における脆弱性及び適 応効果評価指標に関する研究」(研究代表者:茨城大学・三村信男,課題代表者:茨城大学・ 安原一哉)において実施された研究成果の一部である. 関係各位に, ここに深謝申し上げます. <参考・引用文献> 1) 気候変動に関する政府間パネル:第4次報告書統合報告書 政策決定者向け概要, 2007. 2) アジア防災センター カカントリーレポート 1999, p3, 1999. 3) 中島秀雄: 図説河川堤防, 技報堂出版、pp.89-113, 2003. 4) Do Minh Duc : HOLOCENE SEDIMENTA RY EVOLUTION AND THE RELATION TO SEA LEVEL CHANGE AT THE RED RIVER MOUTH, NORTHERN VIETNAM, The Netherland s Institute for Sea Research, 2001. 5) 財団法人国土技術研究センター:河川土エマニュアル, pp.73-75, 2009. 6) 地盤工学会:地盤材料試験の方 法と解説-二冊分の 1-, pp.54-92, 2009.



模擬材料はにおける流量と a) 動水勾配 i の関係



b) 模擬材料 g における流量と 動水勾配 i の関係 図6 各模擬材料の流量と

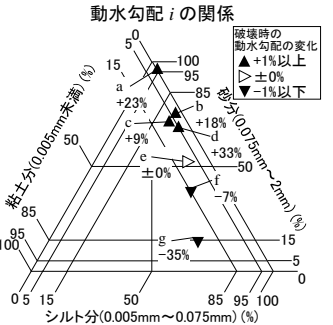


図7 ヤシ繊維質量比1%混合による破壊時 の動水勾配 in の変化と粒度組成の関係

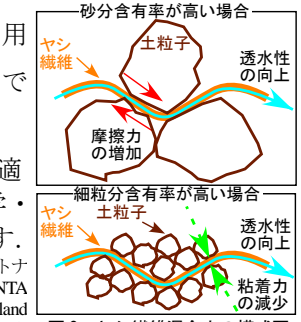


図 8 ヤシ繊維混合土の模式図